

Tumorregister München



- ▶ Survival
- ▶ Auswahlmatrix
- ▶ Homepage
- ▶ English

ICD-10 C51-C58: Gyn. Tumoren

Inzidenz und Mortalität

Diagnosejahr	1998-2020
Patienten	29 325
Erkrankungen	29 952
Erstellungsdatum	20.12.2021
Datenbankexport	20.12.2021
Population (Frauen)	2,50 Mio.



Tumorregister München
Bayerisches Krebsregister - Regionalzentrum München
am Klinikum Großhadern/IBE
Marchioninstr. 15
81377 München
Deutschland

<https://www.tumorregister-muenchen.de>

<https://www.tumorregister-muenchen.de/facts/base/bC5158G-ICD-10-C51-C58-Gyn.-Tumoren-Inzidenz-und-Mortalitaet.pdf>

Index der Abbildungen und Tabellen

Abb./Tab.		Seite
1	Alle Fälle mit DCO-Anteil, weiteren Malignomen, Verstorbenen, Follow-up-Qualität nach Diagnosejahr	4
2	Inzidenz nach Diagnosejahr	5
3	Kenngößen der Altersverteilung nach Diagnosejahr	6
4	Altersverteilung nach 5 Jahres-Altersklassen	7
5	Altersspezifische Inzidenz, DCO-Anteil, Anteil an allen malignen Tumoren	8
6	Altersverteilung und altersspezifische Inzidenz (Grafik)	9
6a	Altersspezifische Inzidenz international (Grafik)	10
7	Standardisierte Inzidenzratio von weiteren Malignomen	11
8a	Kartierung Inzidenz (BRD-S) nach Landkreisen (Grafik)	12
8b	Standardisierte Inzidenzratio (SIR) nach Landkreisen (Grafik)	13
9a	Mortalität nach Inzidenz-Kohorten	14
9b	Inzidenz und Mortalität nach Jahrgängen	15
9c	Tumorbedingt Verstorbene, mit Todesbescheinigung	16
10	Sterbealter Mediane	17
11	Mortalität nach Sterbejahr	18
12	Altersverteilung nach 5 Jahres-Altersklassen	19
13	Altersspezifische Mortalität	20
14	Weitere Tumoren bei Verstorbenen	21
15	Altersspezifische Mortalität (Erstmalignome)	22
16	Altersspezifische Mortalität (Einfachmalignome)	23
17	Altersverteilung und altersspezifische Mortalität (Grafik)	24
18a	Kartierung Mortalität (BRD-S) nach Landkreisen (Grafik)	25
18b	Standardisierte Mortalitätsratio (SMR) nach Landkreisen (Grafik)	26

**Allgemeine Anmerkungen zu den Auswertungen im Internet –
Basisstatistiken (graue Taste ) , Überleben (rote Taste )
und spezielle Auswertungen (blaue Taste )**

Mit diesen Auswertungen belegen Kliniken und Ärzte für ganz Oberbayern und die Stadt und den Landkreis Landshut[#], zusammen 4,69 Mio. Einwohner, die Krebserkrankungshäufigkeiten^{##} und die erreichten Langzeitergebnisse. Das im Tumorregister München (TRM) berechnete Überleben wird mit den Ergebnissen der bevölkerungsbezogenen Krebsregistrierung in den USA (SEER) verglichen.

Bei Zusammenschau mehrerer Tabellen fallen immer wieder unterschiedliche Summen auf. Diese beruhen darauf, dass einmal Patienten die Berechnungsgrundlage bilden, z.B. wenn es um Anteile von Mehrfachtumoren oder DCO-Fällen^{###} geht. Im anderen Fall sind die einzelnen Tumordiagnosen Grundlage der Berechnung, z.B. wenn es um Inzidenzen geht.

Die Fußzeile beschreibt die Aktualität der Daten. Einmal jährlich werden die Basisstatistiken und das Überleben aktualisiert. Diese jährliche Aufbereitung stellt somit den Jahresbericht des TRM dar.

Die Kliniken und Ärzte haben selbstverständlich Zugang zu wesentlich detaillierteren Daten, anhand derer sie ihre Daten und Ergebnisse prüfen, vergleichen und gegebenenfalls optimieren.

Tumorregister München, im Dezember 2021

Basisdaten werden ab 1998 ausgewiesen. Erkennbar ist die Zunahme der Neuerkrankungen, die durch zweimalige Erweiterung des Einzugsgebietes begründet ist (2002 von 2,65 Mio. auf 4,10 und 2007 auf 4,69 Mio. Einwohner).

Wegen der großen Häufigkeit und der guten Prognose der nicht-melanomatösen Hautkrebserkrankungen (C44) erfolgt keine systematische Erfassung. C44 wird nicht als Ersttumor ausgewiesen, allerdings als ein Folgetumor.

DCO (death certificate only) bezeichnet eine Krebserkrankung, die dem TRM erst mit der Todesbescheinigung zugänglich wurde.

ICD-10-Kodes (ICD-10-GM 2015) zur Kollektiv-Definition

Kode	Bezeichnung
C51.-	Bösartige Neubildung der Vulva
C52	Bösartige Neubildung der Vagina
C53.-	Bösartige Neubildung der Cervix uteri
C54.-	Bösartige Neubildung des Corpus uteri
C55	Bösartige Neubildung des Uterus, Teil nicht näher bezeichnet
C56	Bösartige Neubildung des Ovars
C57.-	Bösartige Neubildung sonstiger und nicht näher bezeichneter weiblicher Genitalorgane
C58	Bösartige Neubildung der Plazenta

INZIDENZ

Tabelle 1

Fälle mit invasivem Tumor nach Diagnosejahren, Anteil von DCO, weiteren Malignomen, Verstorbenen und gutem Follow-up (einschl. DCO)

Diagnose- jahr	Alle Fälle n	DCO- Fälle n	Anteil DCO %	Anteil mind. 1 weiteres Malignom vorher + synchron %	Anteil mind. 1 weiteres Malignom nachher %	Anteil verstorben %	Anteil gutes Follow-up %
1998	847	77	9.1	10.4	9.1	69.9	95.0
1999	838	69	8.2	11.1	8.9	67.8	95.1
2000	821	75	9.1	11.9	8.7	66.6	96.3
2001	812	77	9.5	11.8	8.5	64.9	94.3
2002	1337	161	12.0	12.4	8.4	68.6	97.1 #
2003	1337	139	10.4	12.1	8.2	66.9	96.0
2004	1280	129	10.1	12.3	7.8	67.2	96.3
2005	1306	102	7.8	12.3	7.6	63.2	94.5
2006	1304	82	6.3	12.2	7.3	60.4	93.9
2007	1554	132	8.5	12.4	7.1	61.8	92.5 #
2008	1570	116	7.4	12.5	6.8	57.3	98.2
2009	1452	91	6.3	12.6	6.4	55.9	97.1
2010	1504	115	7.6	12.8	6.1	57.4	97.7
2011	1495	91	6.1	13.0	5.7	53.1	97.5
2012	1472	90	6.1	13.3	5.3	51.9	97.6
2013	1526	99	6.5	13.5	4.8	50.5	97.6
2014	1522	97	6.4	13.8	4.5	47.9	96.8
2015	1424	92	6.5	13.9	4.0	45.8	95.2
2016	1439	78	5.4	14.2	3.9	41.8	99.3
2017	1438	75	5.2	14.3	3.4	34.2	99.0
2018	1394	51	3.7	14.5	3.3	29.8	99.4
2019	1169	4	0.3	14.5	2.3	22.3	99.5
2020	1111	5	0.5	14.7	1.7	15.0	99.5 ##
1998-2020	29952	2047	6.8	14.7	9.1	52.4	96.9

29 952 Diagnosen aus den Jahren 1998-2020 beziehen sich auf insgesamt 29 325 Patienten. Von diesen 29 325 Patienten sind derzeit 6 804 Patienten (23,2 %) mit mehr als einem Malignom registriert, das auch eine andere Tumorart sein kann. Dabei gibt es 5 474 / 1 086 / 244 (18,7 % / 3,7 % / 0,8 %) Krankheitsverläufe mit 2 / 3 / >3 Malignomen.

Der Anstieg der Fallzahlen in 2002 und 2007 ist durch Erweiterungen des Einzugsgebiets begründet.

Bitte beachten: Die Bearbeitung der letzten Jahrgangskohorten ist noch nicht abgeschlossen. Die ausgewerteten Jahrgänge entnehmen Sie bitte den jeweiligen Überschriften.

Lesehilfe:

Im Jahr 2018 ist eine Gruppe von 1 394 Fällen diagnostiziert worden, von denen 14,5 % vorher und/oder zeitgleich (synchron) mindestens ein weiteres Malignom hatten, das auch eine andere Tumorart sein kann. Bei 3,3 % der Fälle ist im Follow-up mindestens ein neues Malignom aufgetreten (alle Zahlen beziehen sich auf das Datum des Datenbankexports, s. Deckblatt).

Tabelle 2

Inzidenzen nach Diagnosejahr einschl. DCO-Fälle
(ab 2002 erweitertes Einzugsgebiet von 2,65 auf 4,10 Mio.,
ab 2007 von 4,10 auf 4,94 Mio. berücksichtigt)

Diagnose- jahr	Anzahl n	Inzidenz roh	Inzidenz WS	Inzidenz ES	Inzidenz BRD-S
1998	847	72.0	38.9	53.8	63.9
1999	838	70.6	36.8	51.2	61.2
2000	821	68.3	36.0	50.2	60.0
2001	812	66.8	35.6	49.0	58.1
2002	1337	68.3	34.8	48.6	58.3
2003	1337	67.9	34.5	48.3	57.7
2004	1280	64.8	33.2	46.3	54.9
2005	1306	65.6	33.3	46.1	54.9
2006	1304	64.9	32.6	45.5	54.1
2007	1554	67.3	33.8	47.4	56.3
2008	1570	67.7	34.4	47.7	56.5
2009	1452	62.4	31.7	44.0	52.2
2010	1504	64.3	31.5	44.2	52.9
2011	1495	64.0	31.8	44.3	52.7
2012	1472	62.4	30.6	42.5	50.7
2013	1526	64.0	32.2	44.5	52.7
2014	1522	63.2	31.4	43.4	51.5
2015	1424	58.5	29.4	40.6	47.8
2016	1439	58.6	29.3	40.5	47.5
2017	1438	58.3	29.6	40.8	47.8
2018	1394	56.2	28.5	39.2	45.8
2019	1169	47.1	23.3	32.3	38.3
2020	1111	44.8	23.4	31.9	36.8
1998-2020	29952	62.0	31.4	43.5	51.5

Bei der Inzidenzberechnung wird jede Tumordiagnose (unabhängig ob Ersttumor oder nicht) berücksichtigt.

Tabelle 3

Kenngrößen der Altersverteilung nach Diagnosejahr
(mit DCO)

Diagnose- jahr	Anzahl n	Mittel- wert	Std. abw.	Median						
				Min.	Max.	10%	25%	50%	75%	90%
1998	847	64.6	15.3	14.6	97.0	43.5	54.6	65.7	76.4	84.5
1999	838	65.3	15.7	0.7	99.9	42.4	55.9	65.9	77.3	85.2
2000	821	64.9	14.9	19.9	98.0	42.8	55.1	65.3	76.8	83.1
2001	812	64.7	15.4	14.7	98.8	41.5	55.0	65.3	76.2	83.8
2002	1337	66.1	15.1	13.2	99.4	44.3	57.8	67.0	77.7	83.9
2003	1337	66.4	15.0	7.6	99.4	45.6	56.8	66.8	78.3	84.2
2004	1280	66.0	15.2	1.2	99.8	44.7	56.1	66.7	77.7	84.3
2005	1306	66.1	15.3	1.7	103	43.2	56.9	67.3	77.5	84.9
2006	1304	66.3	15.1	22.9	99.4	44.3	56.2	67.4	77.8	85.1
2007	1554	66.2	14.9	18.3	100	44.3	56.8	67.7	77.1	85.0
2008	1570	65.8	14.9	11.1	102	44.7	56.4	67.6	77.1	84.7
2009	1452	65.9	15.1	11.2	102	44.3	55.4	67.7	77.2	84.5
2010	1504	66.7	14.8	17.0	98.7	45.9	57.0	68.6	77.3	85.3
2011	1495	66.0	14.8	4.1	98.5	45.2	56.0	68.7	76.9	84.2
2012	1472	66.6	15.1	0.3	101	45.4	57.2	68.9	77.4	84.9
2013	1526	65.9	15.3	0.7	105	45.6	55.8	67.4	77.1	84.6
2014	1522	65.8	15.7	13.3	100	43.4	55.0	68.0	77.3	84.4
2015	1424	65.9	14.7	16.5	102	45.5	55.3	67.1	76.7	84.1
2016	1439	65.8	15.2	4.9	99.1	44.6	55.1	66.9	77.6	84.3
2017	1438	65.4	14.4	26.2	96.6	45.9	55.9	66.8	76.7	82.8
2018	1394	65.3	14.8	19.6	99.9	44.9	55.0	66.1	77.1	83.5
2019	1169	65.6	14.3	14.6	95.6	45.3	56.2	67.0	77.3	82.3
2020	1111	64.4	14.9	17.3	101	43.6	54.6	65.6	76.1	82.6
1998-2020	29952	65.8	15.0	0.3	105	44.6	56.0	67.2	77.2	84.3

Tabelle 4

Altersverteilung nach 5 Jahres-Altersklassen für 2007-2020
(mit DCO)

Alter bei Diagnose Jahre	Anzahl n	%	Kum. %
0-4	4	0.0	0.0
5-9	2	0.0	0.0
10-14	9	0.0	0.1
15-19	23	0.1	0.2
20-24	35	0.2	0.4
25-29	162	0.8	1.2
30-34	368	1.8	3.0
35-39	557	2.8	5.8
40-44	869	4.3	10.1
45-49	1104	5.5	15.6
50-54	1586	7.9	23.5
55-59	2015	10.0	33.6
60-64	2130	10.6	44.2
65-69	2464	12.3	56.4
70-74	2627	13.1	69.5
75-79	2525	12.6	82.1
80-84	1856	9.2	91.4
85+	1734	8.6	100.0
Gesamt	20070	100.0	

Tabelle 5

Altersspezifische Inzidenz mit DCO-Anteil und Anteil an allen Krebserkrankungen für 2007–2020

Alter bei Diagnose Jahre	Anzahl n	Altersspez. Inzidenz	DCO-Rate n=1119 %	Anteil Krebs n=155051 %
0– 4	4	0.3	25.0	2.3
5– 9	2	0.1		2.0
10–14	9	0.6		7.0
15–19	23	1.4		8.7
20–24	34	1.8		6.6
25–29	160	7.1	0.6	13.5
30–34	365	16.0	0.3	17.0
35–39	549	24.1	0.2	15.6
40–44	854	35.3	0.7	13.9
45–49	1077	41.4	1.0	11.5
50–54	1548	61.6	0.8	12.4
55–59	1980	90.9	1.7	14.9
60–64	2094	110.3	1.6	13.4
65–69	2420	133.5	2.7	12.8
70–74	2600	151.2	3.5	13.1
75–79	2490	165.8	5.6	12.8
80–84	1835	172.4	11.8	11.9
85+	1721	165.1	29.5	10.5
Gesamt	19765		5.7	12.7
Inzidenz				
Roh		58.8		
WS		29.5		
ES		40.8		
BRD-S		48.2		

Die altersspezifische Inzidenz beschreibt das Erkrankungsrisiko in den jeweiligen Altersklassen; die Altersverteilung ist von der Besetzung der jeweiligen Altersklasse abhängig und beschreibt das erfahrbare Krankheitsbild aus dem Versorgungsalltag (s. folgende Abbildung).

ICD-10 C51-C58: Gynäkologische Tumoren
 Altersverteilung und altersspez. Inzidenz 2007 - 2020 (n=19765)

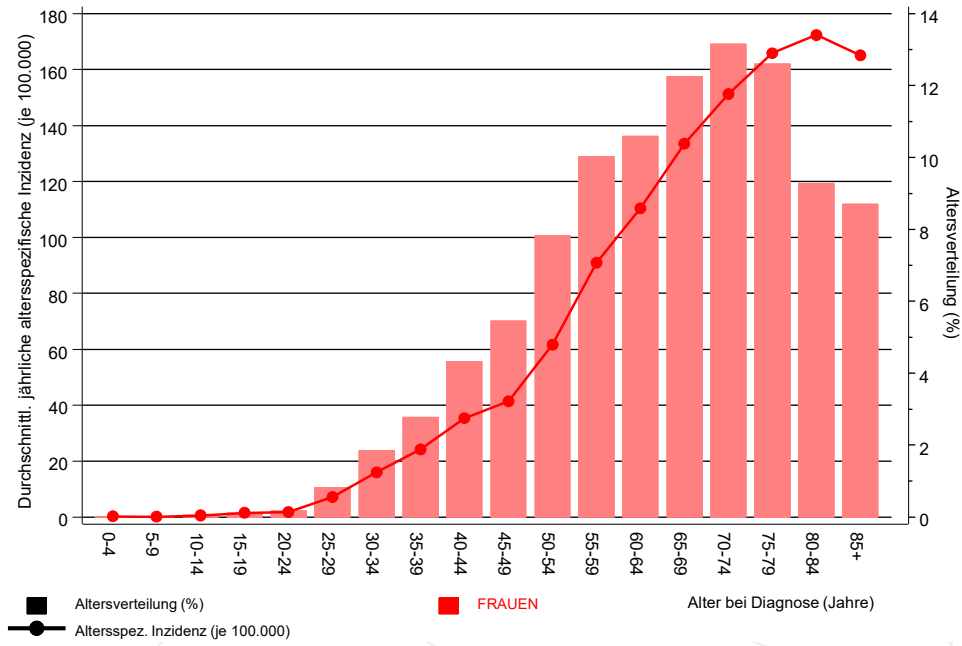


Abb. 6. Altersverteilung (Mittelwert=65,9 J., Median=67,6 J.) und altersspezifische Inzidenz.

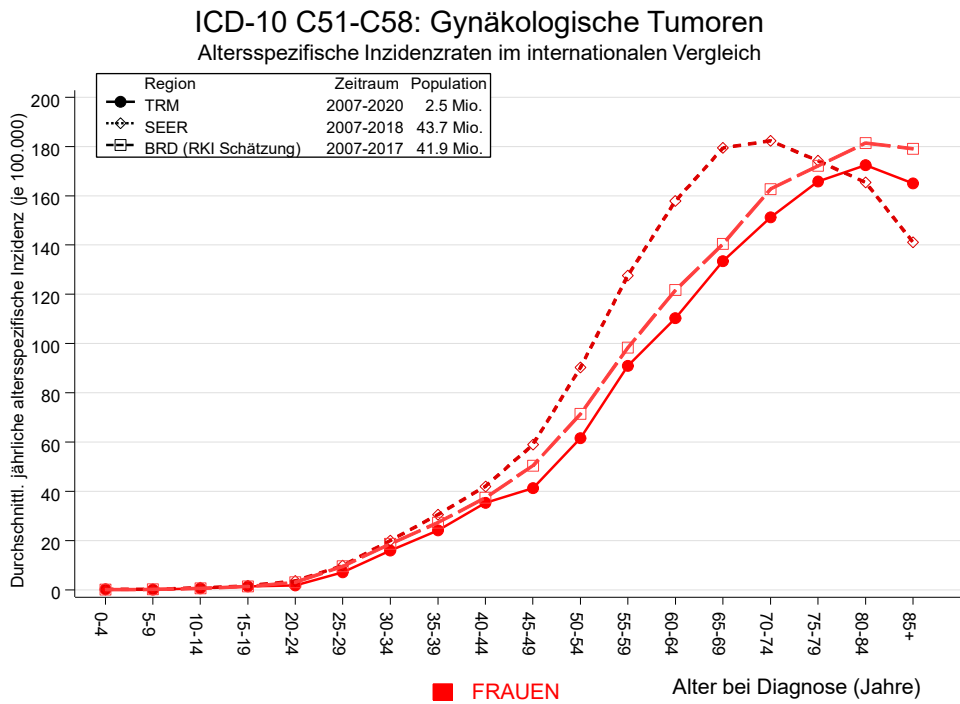


Abb. 6a. Altersspezifische Inzidenz im Einzugsgebiet des Tumorregisters München im Vergleich mit der BRD (RKI Schätzung) und SEER (Surveillance, Epidemiology, and End Results, USA).

Quelle:

Geschätzte altersspezifische Fallzahlen für Deutschland, letzte Aktualisierung: 16.03.2021. Zentrum für Krebsregisterdaten im Robert Koch-Institut (RKI) auf Basis der epidemiologischen Landeskrebsregisterdaten. <http://www.krebsdaten.de>. Abrufdatum: 17.08.2021
 Surveillance, Epidemiology, and End Results (SEER) Program SEER*Stat Database: Incidence - SEER 21 Regs Research Data, released April 2021, based on the November 2020 submission. <http://www.seer.cancer.gov>.

Tabelle 7

Standardisierte Inzidenzratio (SIR, mit 95%-Konfidenzintervallen),
zusätzliches absolutes Risiko (EAR) und DCO-Rate von weiteren Malignomen
für 1998-2020

Diagnose	Beobachtet n	Erwartet n	SIR	KI 95%	KI 95%	EAR	DCO %
C03-C06 Mundhöhle	11	6.1	1.8	0.9	3.2	0.5	
C09-C10 Oropharynx	11	4.5	2.5	1.2	4.4 #	0.6	
C15 Ösophagus	17	7.0	2.4	1.4	3.9 #	1.0	11.8
C16 Magen	77	35.4	2.2	1.7	2.7 #	4.1	11.7
C17 Dünndarm	28	5.7	4.9	3.3	7.1 #	2.2	3.6
C18 Kolon	281	101.3	2.8	2.5	3.1 #	17.7	12.8
C19-C20 Rektum	88	41.7	2.1	1.7	2.6 #	4.6	10.2
C21 Anus/Analkanäl	23	5.9	3.9	2.5	5.8 #	1.7	4.3
C22 Leber	25	13.0	1.9	1.2	2.8 #	1.2	8.0
C23-C24 Galle	39	14.7	2.6	1.9	3.6 #	2.4	15.4
C25 Pankreas	95	48.5	2.0	1.6	2.4 #	4.6	28.4
C26 Gastrointest.Ca	5	1.7	2.9	1.0	6.9	0.3	40.0
C33-C34 Lunge	258	80.1	3.2	2.8	3.6 #	17.5	12.0
C40-C41 Knochen	5	1.0	5.0	1.6	11.6 #	0.4	
C43 Malign. Melanom	72	41.4	1.7	1.4	2.2 #	3.0	6.9
C46,C49 Weichteilsarkom	21	6.1	3.5	2.1	5.3 #	1.5	
C48 Peritoneal	42	4.4	9.6	6.9	13.0 #	3.7	
C50 Mamma	829	329.6	2.5	2.3	2.7 #	49.1	4.0
C51 Vulva	37	11.1	3.3	2.3	4.6 #	2.5	5.4
C52 Vagina	15	2.0	7.6	4.2	12.5 #	1.3	
C53 Cervix uteri	54	14.5	3.7	2.8	4.9 #	3.9	29.6
C54 Corpus uteri	211	59.0	3.6	3.1	4.1 #	14.9	12.3
C55,C57 Sonst.gyn.Tumor	18	2.2	8.2	4.8	12.9 #	1.6	83.3
C56 Ovar/Tube	273	42.5	6.4	5.7	7.2 #	22.7	15.4
C64 Niere	55	24.6	2.2	1.7	2.9 #	3.0	7.3
C65 Nierenbecken	13	3.3	3.9	2.1	6.8 #	1.0	7.7
C66 Harnleiter	9	1.8	5.1	2.3	9.7 #	0.7	11.1
C67 Harnblase	61	20.4	3.0	2.3	3.8 #	4.0	6.6
C70-C72 ZNS	25	13.8	1.8	1.2	2.7 #	1.1	24.0
C73 Schilddrüse	44	17.9	2.5	1.8	3.3 #	2.6	2.3
C76-C79 Unbek.Primär-Ca	46	18.8	2.4	1.8	3.3 #	2.7	8.7
C81 M.Hodgkin-L.	7	2.0	3.5	1.4	7.3 #	0.5	
C82-C85 Non-Hodgkin-L.	88	41.1	2.1	1.7	2.6 #	4.6	3.4
C90 Plasmozytom	19	12.9	1.5	0.9	2.3	0.6	10.5
C91-C96 Leukämie	45	15.4	2.9	2.1	3.9 #	2.9	20.0
Sonst. Malignome	30	15.2	2.0	1.3	2.8 #	1.5	6.7
Nicht beobachtet	0	1.6	0.0	0.0	2.3	-0.2	
Weitere Malignome gesamt	2977	1068.2	2.8	2.7	2.9 #	187.8	10.1

Patienten 27703
 Altersmedian bei weiterem Malignom (Jahre) 71.2
 Personenjahre 101661
 Mittlere Beobachtungszeit (Jahre) 3.7
 Mediane Beobachtungszeit (Jahre) 1.9

Das Auftreten des weiteren Malignoms ist statistisch auffällig.

Beobachtete weitere Malignome mit der Häufigkeit 1 bis 4 sind in der Kategorie „Sonst. Malignome“
zusammengefasst.

Durchschnittliche Inzidenz (BRD 87-Standard) 2007 - 2020

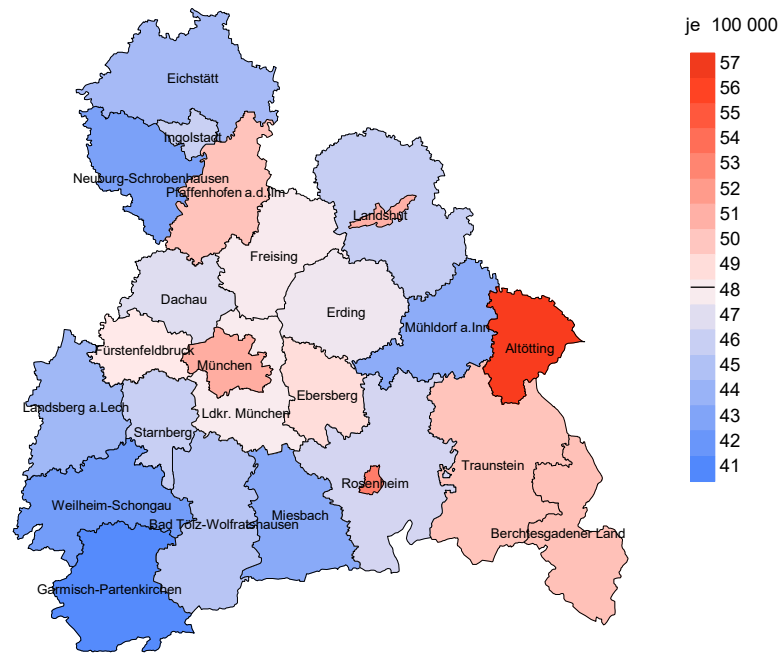


Abb. 8a. Kartierung der Inzidenz (BRD-Standard, einschl. DCO-Fälle) nach Landkreisen als Durchschnitt für die Diagnosejahrgänge 2007 bis 2020. Die rote bzw. blaue Farbe repräsentiert entsprechend ihrer Intensität höhere bzw. niedrigere Inzidenzen im Vergleich zum Mittel in der gesamten Region (48,2/100 000 WS N=19 765), weiß.

Vorsicht bei der Interpretation! Im Landkreis Ebersberg als Beispiel mit 67 727 weiblichen Einwohnern (gemittelt) sind zwischen 2007 und 2020 insgesamt 561 Frauen an Gyn. Tumoren neu erkrankt. Hieraus errechnet sich eine durchschnittliche Inzidenz (BRD-Standard) von 49,0/100 000. Unter Berücksichtigung möglicher Schwankungen kann die Inzidenz in diesem Landkreis mit einer Wahrscheinlichkeit von 99% zwischen 43,8 und 54,7/100 000 liegen.

Standardisierte Inzidenzratio (SIR) 2007 - 2020

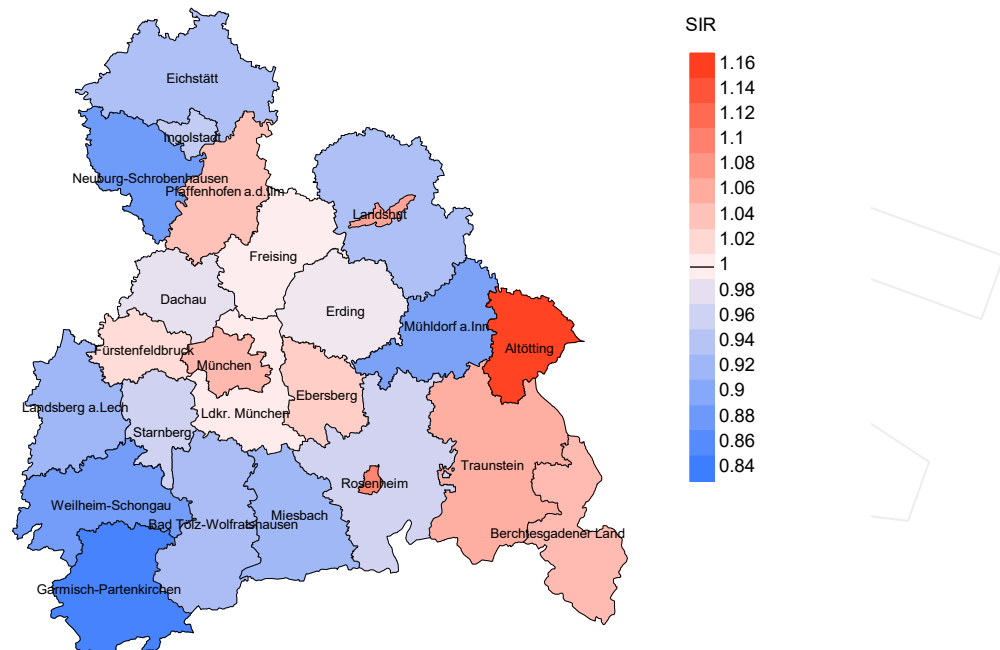


Abb. 8b. Kartierung der Standardisierten Inzidenzratio (SIR, einschl. DCO-Fälle) nach Landkreisen als Durchschnitt für die Diagnosejahrgänge 2007 bis 2020. Die rote bzw. blaue Farbe repräsentiert entsprechend ihrer Intensität höhere bzw. niedrigere SIR-Werte im Vergleich zum Erwartungswert der gesamten Region von 1.0 (N=19 765), weiß.

Vorsicht bei der Interpretation! Im Landkreis Ebersberg als Beispiel mit 67 153 weiblichen Einwohnern (gemittelt) sind zwischen 2007 und 2020 insgesamt 561 Frauen an Gyn. Tumoren neu erkrankt. Hieraus errechnet sich eine durchschnittliche Standardisierte Inzidenzratio (SIR) von 1.03. Unter Berücksichtigung möglicher Schwankungen kann der Wert in diesem Landkreis mit einer Wahrscheinlichkeit von 99% zwischen 0.92 und 1.15 liegen und gilt damit als statistisch unauffällig.

MORTALITÄT

Tabelle 9a

Jahrgangskohorten: Neuerkrankte Fälle, Follow-up-Status, Anteil von DCO, bisher aus der Kohorte Verstorbene und Anteil der Sterbefälle mit Todesbescheinigungen (ab 2002 erweitertes Einzugsgebiet von 2,65 auf 4,10 Mio., ab 2007 von 4,10 auf 4,94 Mio. berücksichtigt)

Diagnose- jahr	Neu- erkrankungen n	Anteil gutes Follow-up %	Anteil DCO %	Ver- storbene n	Anteil verstorben %	Anteil verstorben mit Todes- bescheinigung %
1998	847	95.0	9.1	592	69.9	88.7
1999	838	95.1	8.2	568	67.8	92.1
2000	821	96.3	9.1	547	66.6	93.1
2001	812	94.3	9.5	527	64.9	95.8
2002	1337	97.1	12.0	917	68.6	95.1
2003	1337	96.0	10.4	895	66.9	95.6
2004	1280	96.3	10.1	860	67.2	96.0
2005	1306	94.5	7.8	826	63.2	95.4
2006	1304	93.9	6.3	788	60.4	96.2
2007	1554	92.5	8.5	961	61.8	95.4
2008	1570	98.2	7.4	900	57.3	95.1
2009	1452	97.1	6.3	812	55.9	95.8
2010	1504	97.7	7.6	864	57.4	94.3
2011	1495	97.5	6.1	794	53.1	95.6
2012	1472	97.6	6.1	764	51.9	94.8
2013	1526	97.6	6.5	771	50.5	92.5
2014	1522	96.8	6.4	729	47.9	93.0
2015	1424	95.2	6.5	652	45.8	90.5
2016	1439	99.3	5.4	601	41.8	84.0
2017	1438	99.0	5.2	492	34.2	80.7
2018	1394	99.4	3.7	415	29.8	71.8
2019	1169	99.5	0.3	261	22.3	82.4
2020	1111	99.5	0.5	167	15.0	92.8
1998-2020	29952	96.9	6.8	15703	52.4	92.7

Tabelle 9b

Jahrgangskohorten der neuerkrankten Fälle und der Sterbefälle sowie die Anzahl der Sterbefälle aus der Jahrgangskohorte der Neuerkrankten im gleichen Jahr und der prozentuale Anteil mit Todesbescheinigung (mit DCO)
(ab 2002 erweitertes Einzugsgebiet von 2,65 auf 4,10 Mio.,
ab 2007 von 4,10 auf 4,94 Mio. berücksichtigt)

Diagnose-/ Sterbe- jahr	Neu- erkrankungen n	Ver- storbene n	Anteil verstorben mit Todes- bescheinigung %	Verstorbene im selben Jahr n	Anteil verstorben im selben Jahr %
1998	847	464	88.6	130	15.3
1999	838	495	88.9	128	15.3
2000	821	481	92.3	127	15.5
2001	812	481	92.5	116	14.3
2002	1337	777	95.6	266	19.9
2003	1337	806	97.3	227	17.0
2004	1280	792	97.6	217	17.0
2005	1306	819	96.6	189	14.5
2006	1304	774	96.6	180	13.8
2007	1554	912	97.7	248	16.0
2008	1570	924	99.4	218	13.9
2009	1452	938	99.1	179	12.3
2010	1504	957	98.6	227	15.1
2011	1495	1008	97.6	210	14.0
2012	1472	934	97.8	211	14.3
2013	1526	1060	97.8	208	13.6
2014	1522	976	98.2	210	13.8
2015	1424	1015	98.0	186	13.1
2016	1439	1036	98.6	196	13.6
2017	1438	1035	97.0	180	12.5
2018	1394	881	66.3	144	10.3
2019	1169	789	45.0	85	7.3
2020	1111	955	86.0	94	8.5
1998-2020	29952	19309	92.9	4176	13.9

Tabelle 9c

Jahrgangskohorten der Sterbefälle, unterteilt nach wahrscheinlich tumorbedingt, wahrscheinlich nicht tumorbedingt und mit Krebsdiagnose auf Todesbescheinigung (mit DCO)

(ab 2002 erweitertes Einzugsgebiet von 2,65 auf 4,10 Mio.,
ab 2007 von 4,10 auf 4,94 Mio. berücksichtigt)

Sterbe- jahr	Verstorbene n	Anteil tumor- bedingt verstorben %	Anteil nicht tumorbedingt verstorben %	Anteil Krebs auf Todesbescheinigung %
1998	464	67.7	32.3	84.7
1999	495	69.7	30.3	83.9
2000	481	70.7	29.3	80.9
2001	481	68.2	31.8	82.9
2002	777	73.2	26.8	84.3
2003	806	73.7	26.3	82.9
2004	792	74.9	25.1	82.7
2005	819	75.3	24.7	82.8
2006	774	70.3	29.7	80.7
2007	912	73.4	26.6	80.5
2008	924	74.7	25.3	79.8
2009	938	70.8	29.2	78.0
2010	957	75.2	24.8	81.3
2011	1008	70.6	29.4	78.2
2012	934	69.2	30.8	77.8
2013	1060	70.3	29.7	77.1
2014	976	70.7	29.3	78.5
2015	1015	67.8	32.2	73.5
2016	1036	71.6	28.4	78.0
2017	1035	65.3	34.7	71.3
2018	881	59.0	41.0	68.2
2019	789	49.6	50.4	75.5
2020	955	50.5	49.5	70.2
1998–2020	19309	68.8	31.2	78.5

Tabelle 10

Mediane zum Sterbealter für die Gruppierung der Tabelle 9

Sterbe- jahr	Verstorbene n	Sterbe- alter Jahre	Sterbe- alter tumor- bedingt verstorben Jahre	Sterbe- alter nicht tumor- bedingt verstorben Jahre	Sterbe- alter bei Krebs auf Todes- bescheinigung Jahre
1998	464	76.5	73.1	81.8	75.8
1999	495	78.2	74.4	83.8	77.8
2000	481	78.1	75.8	82.9	77.3
2001	481	77.9	73.0	82.7	76.0
2002	777	77.5	73.9	84.7	75.4
2003	806	77.2	74.1	84.4	75.1
2004	792	77.6	74.1	84.2	75.2
2005	819	78.2	74.0	84.4	75.4
2006	774	78.2	74.5	85.1	75.8
2007	912	79.1	75.2	85.9	77.0
2008	924	78.1	73.8	85.9	74.7
2009	938	77.5	72.9	85.2	74.4
2010	957	78.2	74.8	85.4	75.7
2011	1008	77.5	73.5	85.4	74.9
2012	934	79.6	76.3	87.0	76.8
2013	1060	78.3	74.5	86.8	76.0
2014	976	77.5	74.9	85.4	75.3
2015	1015	78.6	75.3	86.4	75.9
2016	1036	77.8	75.0	85.5	75.8
2017	1035	79.9	76.4	86.9	77.2
2018	881	78.9	75.0	83.9	76.3
2019	789	79.0	74.7	82.6	76.8
2020	955	80.3	75.9	83.8	77.5
1998–2020	19309	78.4	74.7	85.0	75.9

Für in 2018 neugeborene Jungen in Bayern beträgt die mittlere Lebenserwartung 79,3 Jahre und für neugeborene Mädchen 83,8 Jahre.

Als tumorbedingt verstorben gilt, wer als Todesursache 'tumorabhängig' und/oder als Progressionsangabe 'tumorabh. Tod', 'Metastase' oder 'Progression' aufwies.

Tabelle 11

Mortalität (tumorbedingter Tod) und Mortalitäts-Inzidenz-Index nach Sterbejahr

Sterbe- jahr	Verst. n	Mort. roh	MI-Index roh	Mort. WS	MI-Index WS	Mort. ES	MI-Index ES	Mort. BRD-S	MI-Index BRD-S
1998	314	26.7	0.38	11.7	0.31	17.5	0.33	22.3	0.36
1999	345	29.1	0.42	12.1	0.33	18.4	0.36	24.5	0.40
2000	341	28.4	0.42	11.4	0.32	17.5	0.35	23.3	0.39
2001	328	27.0	0.41	11.6	0.33	17.3	0.36	22.3	0.39
2002	569	29.1	0.43	12.3	0.36	18.4	0.38	23.8	0.41
2003	594	30.2	0.45	12.6	0.37	18.9	0.40	24.7	0.43
2004	593	30.0	0.47	12.3	0.38	18.4	0.40	23.8	0.44
2005	617	31.0	0.48	12.5	0.38	18.8	0.41	24.2	0.45
2006	544	27.1	0.42	10.8	0.34	16.2	0.36	21.4	0.40
2007	669	29.0	0.44	11.2	0.34	16.9	0.36	22.2	0.40
2008	690	29.7	0.45	11.8	0.35	17.7	0.38	22.9	0.41
2009	665	28.6	0.46	11.6	0.37	17.3	0.40	22.1	0.43
2010	720	30.8	0.48	11.9	0.38	17.8	0.41	23.2	0.44
2011	713	30.5	0.48	11.9	0.38	17.9	0.41	23.1	0.44
2012	647	27.4	0.45	9.9	0.33	15.3	0.36	20.4	0.41
2013	747	31.3	0.50	12.0	0.38	18.0	0.41	23.4	0.45
2014	691	28.7	0.46	10.7	0.35	16.2	0.38	21.3	0.42
2015	688	28.3	0.49	10.5	0.36	15.9	0.40	20.8	0.44
2016	742	30.2	0.52	11.8	0.41	17.5	0.44	22.5	0.48
2017	678	27.5	0.48	9.8	0.34	15.0	0.37	19.9	0.42
2018	523	21.1	0.38	8.1	0.29	12.0	0.31	15.5	0.34
2019	393	15.8	0.34	6.2	0.27	9.2	0.29	11.7	0.31
2020	485	19.5	0.45	7.5	0.33	11.0	0.35	14.2	0.40
1998-2020	13296	27.5	0.45	10.8	0.35	16.2	0.38	21.1	0.42

Tabelle 12

Altersverteilung des Sterbealters (tumorbedingter Tod) für 2007–2020
(Einschl. Mehrfachmalignome)

Alter bei Tod Jahre	Anzahl n	%	Kum. %
0-4			
5-9	1	0.0	0.0
10-14	0	0.0	0.0
15-19	2	0.0	0.0
20-24	4	0.0	0.1
25-29	13	0.1	0.2
30-34	25	0.3	0.5
35-39	81	0.9	1.4
40-44	161	1.8	3.2
45-49	258	2.9	6.0
50-54	387	4.3	10.3
55-59	545	6.0	16.3
60-64	706	7.8	24.1
65-69	1062	11.7	35.9
70-74	1322	14.6	50.5
75-79	1504	16.6	67.1
80-84	1387	15.3	82.4
85+	1593	17.6	100.0
Gesamt	9051	100.0	

Tabelle 13

Altersspezifische Mortalität (tumorbed. Tod), Anteil an allen Krebserkrankungen für 2007-2020
(Einschl. Mehrfachmalignome)

Alter bei Tod Jahre	Anzahl n	Altersspez. Mortalität	MI-Index	Anteil Krebs %
0- 4		0.0		
5- 9	1	0.1	0.50	4.0
10-14		0.0		
15-19	2	0.1	0.09	8.0
20-24	4	0.2	0.12	9.3
25-29	13	0.6	0.08	13.1
30-34	25	1.1	0.07	13.8
35-39	81	3.6	0.15	19.9
40-44	161	6.7	0.19	18.8
45-49	258	9.9	0.24	15.4
50-54	387	15.4	0.25	14.6
55-59	545	25.0	0.28	14.3
60-64	706	37.2	0.34	14.1
65-69	1062	58.6	0.44	15.2
70-74	1322	76.9	0.51	15.1
75-79	1504	100.2	0.60	15.3
80-84	1387	130.3	0.76	14.8
85+	1593	152.8	0.93	13.3
Gesamt	9051			14.7
Mortalität				
Roh		26.9	0.46	
WS		10.3	0.35	
ES		15.5	0.38	
BRD-S		20.1	0.42	
PYLL-70				
je 100.000		128.3		
ES		107.5		
AYLL-70		11.2		

Tabelle 14

Weitere Malignome bei Verstorbenen in den Jahren 1998–2020

Diagnose	Anzahl n	Anteil		Vorher n	Vorher ←%	Syn- chron		Nach- her n	Nach- her ←%
		gesamt %↓				±30d n	±30d ←%		
C03-C06 Mundhöhle	28	0.6		9	32.1			19	67.9
C09-C10 Oropharynx	19	0.4		10	52.6			9	47.4
C15 Ösophagus	25	0.5		2	8.0	1	4.0	22	88.0
C16 Magen	147	2.9		28	19.0	12	8.2	107	72.8
C17 Dünndarm	27	0.5		6	22.2	6	22.2	15	55.6
C18 Kolon	484	9.7		164	33.9	57	11.8	263	54.3
C19-C20 Rektum	239	4.8		92	38.5	20	8.4	127	53.1
C21 Anus/Analkanal	46	0.9		19	41.3	1	2.2	26	56.5
C22 Leber	38	0.8		4	10.5	1	2.6	33	86.8
C23-C24 Galle	64	1.3		14	21.9	3	4.7	47	73.4
C25 Pankreas	184	3.7		14	7.6	10	5.4	160	87.0
C26 Gastrointest.Ca	12	0.2		3	25.0	1	8.3	8	66.7
C33-C34 Lunge	417	8.3		42	10.1	31	7.4	344	82.5
C40-C41 Knochen	12	0.2		3	25.0			9	75.0
C43 Malign. Melanom	154	3.1		88	57.1	6	3.9	60	39.0
C44 Sonst.Ca Haut	226	4.5		102	45.1	19	8.4	105	46.5
C46,C49 Weichteilsarkom	33	0.7		9	27.3	3	9.1	21	63.6
C48 Peritoneal	76	1.5		34	44.7	19	25.0	23	30.3
C50 Mamma	1412	28.2		827	58.6	125	8.9	460	32.6
C51 Vulva	35	0.7		13	37.1	7	20.0	15	42.9
C52 Vagina	16	0.3		5	31.3	5	31.3	6	37.5
C53 Cervix uteri	134	2.7		94	70.1	16	11.9	24	17.9
C54 Corpus uteri	180	3.6		85	47.2	77	42.8	18	10.0
C55,C57 Sonst.gyn.Tumor	21	0.4		10	47.6	4	19.0	7	33.3
C56 Ovar/Tube	162	3.2		37	22.8	69	42.6	56	34.6
C64 Niere	93	1.9		36	38.7	8	8.6	49	52.7
C65 Nierenbecken	21	0.4		5	23.8			16	76.2
C66 Harnleiter	17	0.3		1	5.9			16	94.1
C67 Harnblase	168	3.4		27	16.1	18	10.7	123	73.2
C70-C72 ZNS	52	1.0		8	15.4	2	3.8	42	80.8
C73 Schilddrüse	56	1.1		35	62.5	1	1.8	20	35.7
C76-C79 Unbek.Primär-Ca	102	2.0		27	26.5	13	12.7	62	60.8
C82-C85 Non-Hodgkin-L.	123	2.5		50	40.7	11	8.9	62	50.4
C90 Plasmozytom	26	0.5		4	15.4	1	3.8	21	80.8
C91-C96 Leukämie	71	1.4		14	19.7	6	8.5	51	71.8
Sonst. Malignome	86	1.7		42	48.8	5	5.8	39	45.3
Weitere Malignome gesamt	5006	100.0		1963	39.2	558	11.1	2485	49.6

Weitere Tumoren mit einer Fallzahl 1 bis 11 sind in der Kategorie „Sonst. Malignome“ zusammengefasst.

ICD-10 C44 (Sonstige bösartige Neubildungen der Haut) wird nicht systematisch erhoben und nicht als Ersttumor ausgewertet, sondern nur als weiterer Tumor ausgewiesen.

Tabelle 15

Altersspezifische Mortalität (tumorbed. Tod), Anteil an allen Krebserkrankungen für 2007-2020
(Nur **Erstmalignome** *)

Alter bei Tod Jahre	Anzahl n	Altersspez. Mortalität	MI-Index	Anteil Krebs %
0- 4		0.0		
5- 9	1	0.1	0.50	4.0
10-14		0.0		
15-19	2	0.1	0.09	8.7
20-24	4	0.2	0.13	9.8
25-29	10	0.4	0.07	11.0
30-34	22	1.0	0.06	13.8
35-39	75	3.3	0.15	20.3
40-44	148	6.1	0.19	19.6
45-49	219	8.4	0.23	15.3
50-54	322	12.8	0.24	14.3
55-59	461	21.2	0.27	14.4
60-64	583	30.7	0.33	14.3
65-69	858	47.3	0.43	15.5
70-74	1065	61.9	0.51	15.7
75-79	1215	80.9	0.62	16.2
80-84	1085	101.9	0.77	15.0
85+	1293	124.0	0.98	13.7
Gesamt	7363			15.1
Mortalität				
Roh		21.9	0.45	
WS		8.5	0.34	
ES		12.7	0.37	
BRD-S		16.4	0.41	
PYLL-70				
je 100.000		109.5		
ES		92.1		
AYLL-70		11.4		

* Siehe vergleichbare Tabellen mit Mehrfachmalignomen.

Tabelle 16

Altersspezifische Mortalität (tumorbed. Tod), Anteil an allen Krebserkrankungen für 2007-2020

(Nur Einfachmalignome *)

Alter bei Tod Jahre	Anzahl n	Altersspez. Mortalität	MI-Index	Anteil Krebs %
0- 4		0.0		
5- 9	1	0.1	0.50	4.0
10-14		0.0		
15-19	2	0.1	0.09	9.1
20-24	4	0.2	0.14	10.0
25-29	10	0.4	0.07	11.4
30-34	22	1.0	0.06	14.0
35-39	71	3.1	0.14	19.5
40-44	137	5.7	0.18	18.4
45-49	201	7.7	0.23	14.2
50-54	286	11.4	0.23	13.0
55-59	406	18.6	0.25	12.9
60-64	503	26.5	0.31	12.6
65-69	697	38.4	0.38	12.9
70-74	867	50.4	0.47	13.2
75-79	974	64.9	0.55	13.4
80-84	843	79.2	0.64	12.2
85+	1002	96.1	0.79	11.1
Gesamt	6026			12.7
Mortalität				
Roh		17.9	0.40	
WS		7.2	0.31	
ES		10.6	0.33	
BRD-S		13.6	0.36	
PYLL-70				
je 100.000		98.4		
ES		83.0		
AYLL-70		11.9		

* Siehe vergleichbare Tabellen mit Mehrfachmalignomen.

ICD-10 C51-C58: Gynäkologische Tumoren
 Altersverteilung und altersspez. Mortalität 2007 - 2020 (n=9051)

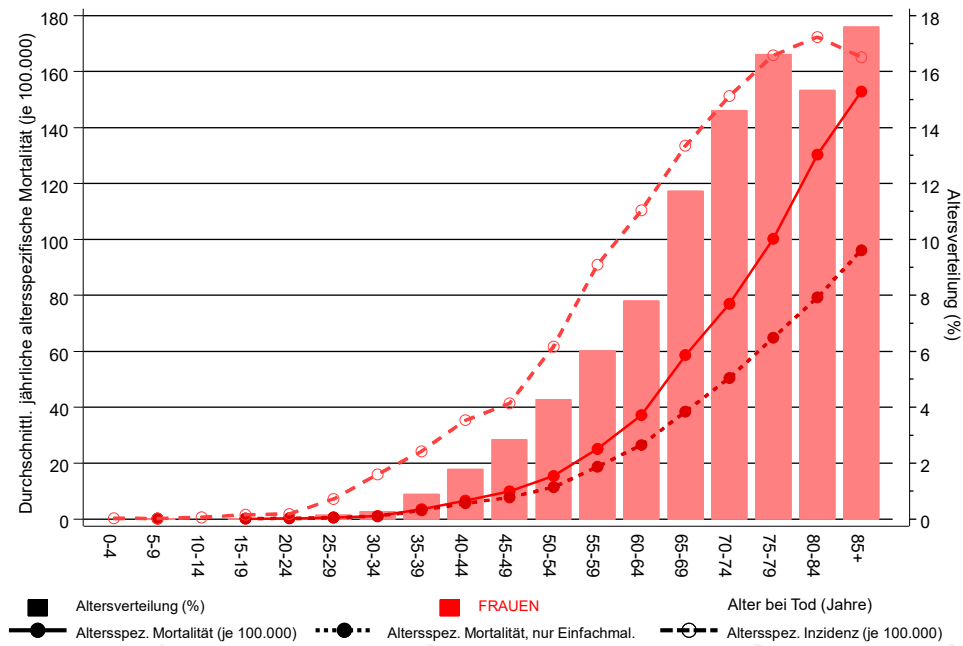


Abb. 17. Verteilung des Sterbealters (Säulen; Mittelwert=67,8 J., Median=69,6 J.) und altersspezifische Mortalität (alle Patienten: durchgezogene Linie, nur Patienten mit Einfachmalignomen: gepunktete Linie). Zum Vergleich ist die altersspezifische Inzidenz (gestrichelte Linie) eingezeichnet.

Zu beachten ist der Unterschied zwischen Alter bei Diagnose (Tab. 3) und dem Gyn. Tumorenbedingten Tod (s. Tab. 10).

Durchschnittliche Mortalität (BRD 87-Standard) 2007 - 2020

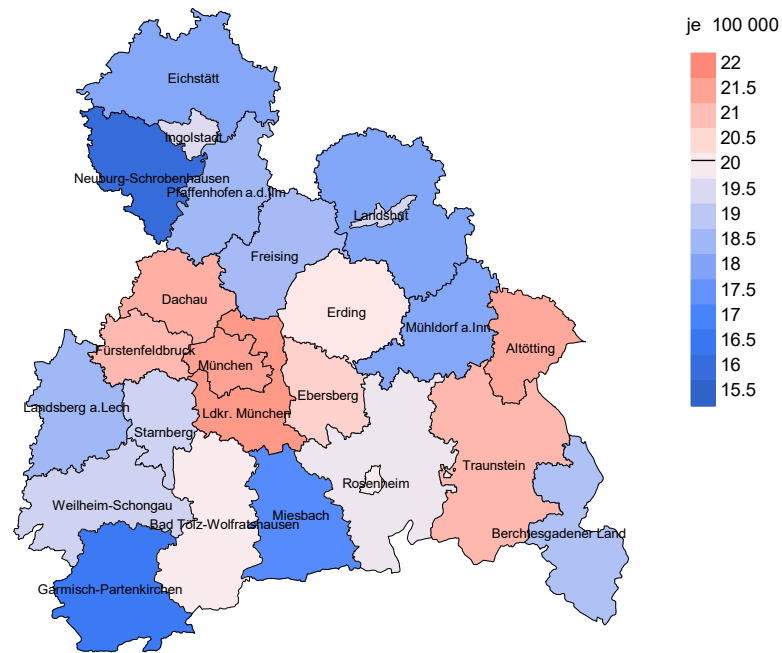


Abb. 18a. Kartierung der Mortalität (BRD-Standard) nach Landkreisen als Durchschnitt für die Diagnosejahrgänge 2007 bis 2020. Die rote bzw. blaue Farbe repräsentiert entsprechend ihrer Intensität höhere bzw. niedrigere Mortalitäten im Vergleich zum Mittel in der gesamten Region (20,1/100 000 WS N=9051), weiß.

Vorsicht bei der Interpretation! Im Landkreis Ebersberg als Beispiel mit 67 727 weiblichen Einwohnern (gemittelt) sind zwischen 2007 und 2020 insgesamt 258 Frauen mit Gyn. Tumoren verstorben. Hieraus errechnet sich eine durchschnittliche Mortalität (BRD-Standard) von 20,7/100 000. Unter Berücksichtigung möglicher Schwankungen kann die Mortalität in diesem Landkreis mit einer Wahrscheinlichkeit von 99% zwischen 17,4 und 24,3/100 000 liegen.

Standardisierte Mortalitätsratio (SMR) 2007 - 2020

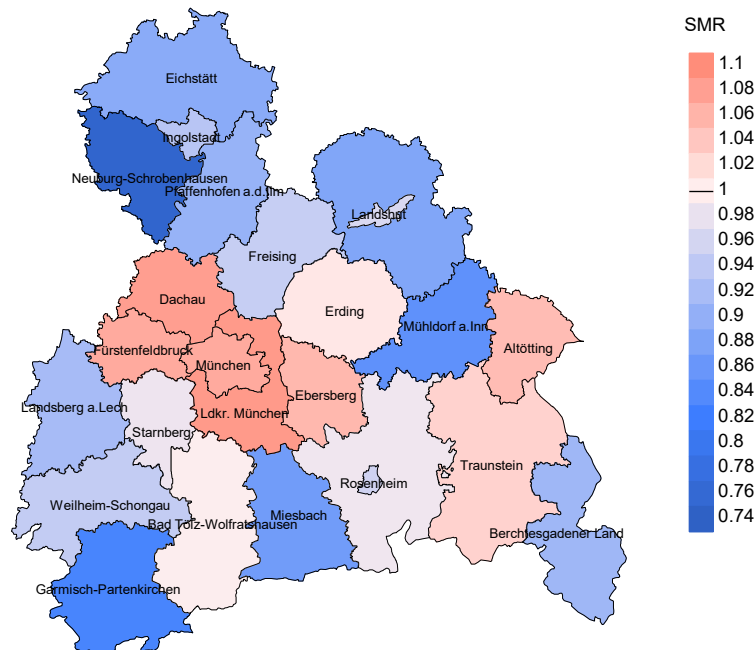


Abb. 18b. Kartierung der Standardisierten Mortalitätsratio (SMR, einschl. DCO-Fälle) nach Landkreisen als Durchschnitt für die Diagnosejahrgänge 2007 bis 2020. Die rote bzw. blaue Farbe repräsentiert entsprechend ihrer Intensität höhere bzw. niedrigere SMR-Werte im Vergleich zum Erwartungswert der gesamten Region von 1.0 (N=9 051), weiß.

Vorsicht bei der Interpretation! Im Landkreis Ebersberg als Beispiel mit 67 153 weiblichen Einwohnern (gemittelt) sind zwischen 2007 und 2020 insgesamt 258 Frauen mit Gyn. Tumoren verstorben. Hieraus errechnet sich eine durchschnittliche standardisierte Mortalitätsratio (SMR) von 1.05. Unter Berücksichtigung möglicher Schwankungen kann der Wert in diesem Landkreis mit einer Wahrscheinlichkeit von 99% zwischen 0.89 und 1.24 liegen und gilt damit als statistisch unauffällig.

Statistische Erläuterungen

In allen Tabellen und Abbildungen ist auf die jeweilige Bezugsgröße zu achten. Bei der Inzidenz sind es Diagnosen einschließlich der DCO-Fälle (wo verfügbar), bei der Mortalität Patienten, Diagnosen und ausgewählte Krankheitsverläufe. In die Berechnungen gehen alle Krankheitsverläufe ein, bei denen Progressionen aufgetreten sind und/oder die Todesbescheinigung eine progrediente Krebserkrankung enthielt. Zusätzlich sind 3 Gruppen von Krankheitsverläufen zu unterscheiden:

1. Einschließlich aller Mehrfachmalignome

Die Kenngrößen zur Mortalität beschreiben den tumorabhängigen Tod, unabhängig von welchem Malignom. Die Sicht der Patienten, induzierte Zweitmalignome, die Problematik der Mehrfachmalignome der gleichen Krebserkrankung sprechen für die Einbeziehung.

2. Nur singuläre Erstmalignome (keine anderes Malignom vorher oder gleichzeitig bekannt)

Die Kenngrößen zur Mortalität beschreiben den tumorabhängigen Tod für Patienten, die keine Therapierestriktionen wegen einer weiteren Krebserkrankung haben. Diese Kenngrößen sind mit Studien vergleichbar, die in der Regel Zweitmalignome als Ausschlusskriterium behandeln.

3. Einfachmalignome (keine anderes Malignom vorher, gleichzeitig oder nachher bekannt)

Die Kenngrößen zur Mortalität beschreiben den tumorabhängigen Tod, der durch die Behandlung erreicht wurde. Gerade der Unterschied zu 1. und 2. verdeutlicht die Größenordnung des Zweitmalignomproblems.

Damit ergeben sich Unterschiede zur monokausalen amtlichen Mortalitätsstatistik. Zur Beurteilung der Spannweite werden zwei weitere Tabellen aufbereitet. Zum einen werden die Verteilungen der Zweitmalignome vor bzw. gleichzeitig oder nach der beschriebenen Krebserkrankung dargestellt, die eine alternative Todesursache sein können. Zum anderen werden die altersspezifischen Mortalitätsraten für alle Krankheitsverläufe ohne Zweitmalignome ausgewiesen.

Eine bisher wenig beachtete Kenngröße ist das **Sterbealter**, das die Qualität der Klassifikation als wahrscheinlich tumorbedingter Tod gut beurteilen lässt. Für die wahrscheinlich tumorunabhängigen Sterbefälle sollte sich das Sterbealter aus dem Alter bei Diagnosestellung und der Lebenserwartung ergeben, für die tumorabhängigen Sterbefälle aus dem Alter bei Diagnosestellung plus der mittleren Überlebenszeit bei tumorbedingtem Tod. Beim Vergleich verschiedener Tumoren zeigt sich dieser Zusammenhang, wenn die Ursachen für Krebserkrankungen und konkurrierende Todesursachen unabhängig sind (z.B. Brust und Darm vs. Kopf/Hals und Lunge).

Der Index aus Mortalität und Inzidenz (Mortalitäts-Inzidenz-Index, **MI-Index**) ist eine Kenngröße zur Beurteilung der Datenqualität. Für prognostisch ungünstige Erkrankungen ergeben sich vergleichbare Werte für alle Altersklassen, weil Zähler und Nenner weitgehend dieselben Fälle betreffen. Bei prognostisch günstigen Tumoren, steigender und fallender Inzidenz und altersspezifischen Prognoseunterschieden kann der Index stärker variieren. Zusätzlich sind die Konfidenzintervalle bei kleinen Fallzahlen zu beachten.

Die hier angedeutete Problematik unterstreicht die Bedeutung des relativen Überlebens zur Bewertung der Langzeitergebnisse.

Als Maßzahlen für die Belastung durch eine Krankheit lassen sich u.a. die Anzahl von potenziell verlorenen Lebensjahren einer Kohorte (**PYLL**, potential years of life lost, standardisiert je 100 000 der Population oder nach Europastandard) und der durchschnittliche Verlust an Lebensjahren pro Individuum (**AYLL**, average years of life lost) durch vorzeitigen Tod berechnen. Je nach Zielrichtung (Gesundheitsökonomie, Prävention, Versorgungsforschung) existieren unterschiedliche Methoden zur Generierung dieser Maßzahlen. In der vorliegenden Auswertung ist entsprechend den Vorgaben der OECD und der WHO als Limit für einen vorzeitigen Tod das Lebensalter von 70 Jahren definiert, wie durch die Abkürzungen PYLL-70 bzw. AYLL-70 verdeutlicht.

Abkürzungen

TRM	Tumorregister München
GEKID	Gesellschaft der epidemiologischen Krebsregister in Deutschland e.V.
SEER	Surveillance, Epidemiology, and End Results (USA)
DCO	Diagnose nur aus Todesbescheinigung bekannt (death certificate only)
BRD-S	BRD-Standard
ES	Europastandard (alt)
WS	Weltstandard
SIR	Standardisierte Inzidenzratio (standardized incidence ratio)
KI	Konfidenzintervall
EAR	Zusätzliches absolutes Risiko (excess absolute risk) = Vermehrte Anzahl von Krebsfällen (O - E) pro 10.000 Beobachtungsjahre
PYLL-70	Verlorene Lebensjahre bis zum 70. Lebensjahr für davor Verstorbene
AYLL-70	Pro Person verlorene Lebensjahre bis zum 70. Lebensjahr für davor Verstorbene
SMR	Standardisierte Mortalitätsratio (standardized mortality ratio)
MI-Index	Verhältnis Mortalität zu Inzidenz

Empfohlene Zitierweise

Tumorregister München. ICD-10 C51-C58: Gyn. Tumoren - Inzidenz und Mortalität [Internet]. 2021 [aktualisiert 20.12.2021]. Abrufbar von: <https://www.tumorregister-muenchen.de/facts/base/bC5158G-ICD-10-C51-C58-Gyn.-Tumoren-Inzidenz-und-Mortalitaet.pdf>

Autorenrechte

Der Zugang zu den vom Tumorregister München im offenen Internet bereitgestellten Inhalten ist weltweit verfügbar und kostenfrei. Die Dokumente dürfen unter Benennung der Urheberschaft frei heruntergeladen, genutzt, kopiert, gedruckt oder verteilt werden.

Haftungsausschluss

Das Tumorregister München übernimmt keinerlei Gewähr für die Aktualität, Korrektheit, Vollständigkeit oder Qualität der im Internet bereitgestellten Inhalte.